

# Resistência dos Materiais 2003/2004

## Curso de Engenharia Mecânica

### 19ª Aula

**Duração - 2 Horas**

**Data - 4 de Dezembro de 2003**

**Sumário:** Torção de Veios de Secção Circular

**Objectivos da Aula:** Apreensão dos conceitos Fundamentais associados à torção de veios de Secção Circular

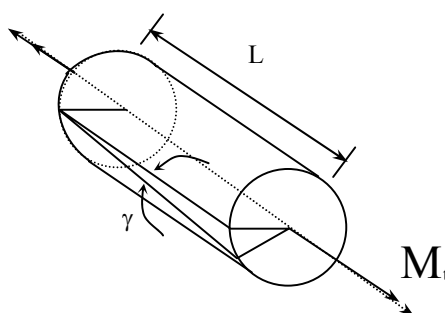
### Resumo do Conteúdo da Aula

#### 1. Torção de Um Veio de Secção Circular

Um veio cilíndrico sujeito a momentos torsores, sendo  $x$  o eixo coincidente com o eixo do cilindro, está em equilíbrio se for

$$\sum M_x = 0$$

como se representa na figura 20.1.



**Figura 19.1 Peça Cilíndrica sujeita a Momentos Torsores**

**Pressupostos Fundamentais:**

- 1- Secções Rectas do Cilindro permanecem Circulares e planas, após deformação, rodando em torno do respectivo centro.
- 2- Um raio traçado sobre uma secção recta permanece rectilíneo durante a deformação do veio.
- 3- O ângulo entre dois quaisquer raios no plano numa secção recta permanece constante durante a deformação da barra.
- 4- Se se considerar um ângulo de torção total pequeno não há variação do raio nem do comprimento do veio.

Considere-se um veio cilíndrico como se representa na figura 19.2 e considere-se um troço de dimensão  $dx$  entre as secções AA e BB. Os pontos R e S antes da deformação passam a ocupar as posições R\* e S\* após a deformação. A variação angular sofrida na direcção circunferencial,  $\theta$ , é designada por  $\gamma$  e é tal que

$$\gamma = \lim_{\Delta x \rightarrow 0} \frac{\overline{S'S^*}}{\overline{R^*S'}} = r \frac{d\phi}{dx} \quad (19.1)$$

A relação deformação – deslocamento para um veio de secção circular é

$$\epsilon_{\theta x} = \frac{1}{2} \gamma = \frac{1}{2} r \frac{d\phi}{dx}$$

As outras componentes do tensor das deformações em coordenadas cilíndricas são:

$$\epsilon_{\theta r} = \epsilon_{rx} = \epsilon_{rr} = \epsilon_{\theta\theta} = \epsilon_{xx} = 0$$

O vector deslocamento num ponto é

$$\left\{ \begin{array}{l} u \text{ deslocamento segundo } x \text{ - eixo da barra} \\ v \text{ deslocamento na direcção circunferencial} \\ w \text{ deslocamento na direcção radial} \end{array} \right\}$$

Designando por  $\theta$  a variação angular por unidade de comprimento, ou seja

$$2\epsilon_{\theta x} = \gamma = r \frac{d\phi}{dx} = r\theta \quad (19.2)$$

Os deslocamentos são

$$\begin{Bmatrix} u \\ v \\ w \end{Bmatrix} = \begin{Bmatrix} 0 \\ r\theta x \\ 0 \end{Bmatrix} \quad (19.3)$$

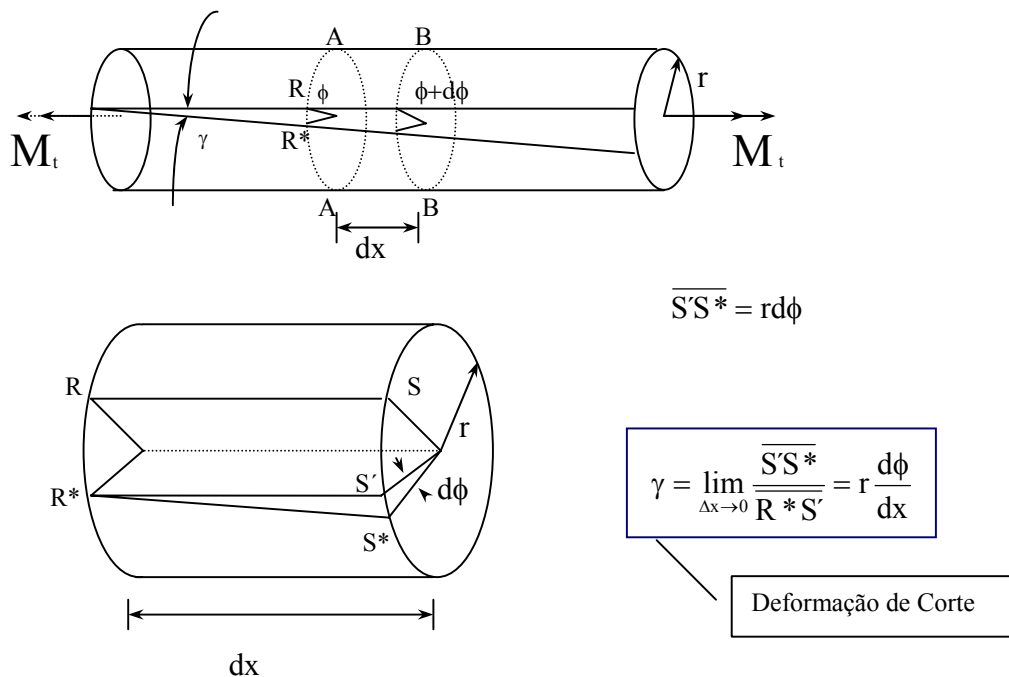
Note-se que em coordenadas cilíndricas as deformações  $\varepsilon_{\theta x}$  são

$$2\varepsilon_{\theta x} = \frac{1}{r} \frac{\partial u}{\partial \theta} + \frac{dv}{dx} = r\theta \quad (19.4)$$

O tensor das deformações tem a forma

$$\begin{bmatrix} \varepsilon_{xx} & \varepsilon_{x\theta} & \varepsilon_{xr} \\ \varepsilon_{\theta x} & \varepsilon_{\theta\theta} & \varepsilon_{\theta r} \\ \varepsilon_{rx} & \varepsilon_{r\theta} & \varepsilon_{rr} \end{bmatrix} = \begin{bmatrix} 0 & r\theta/2 & 0 \\ r\theta/2 & 0 & 0 \\ 0 & 0 & 0 \end{bmatrix} \quad (19.5)$$

sendo  $\gamma = 2\varepsilon_{\theta x} = \frac{1}{r} \frac{\partial u}{\partial \theta} + \frac{dv}{dx} = r\theta$

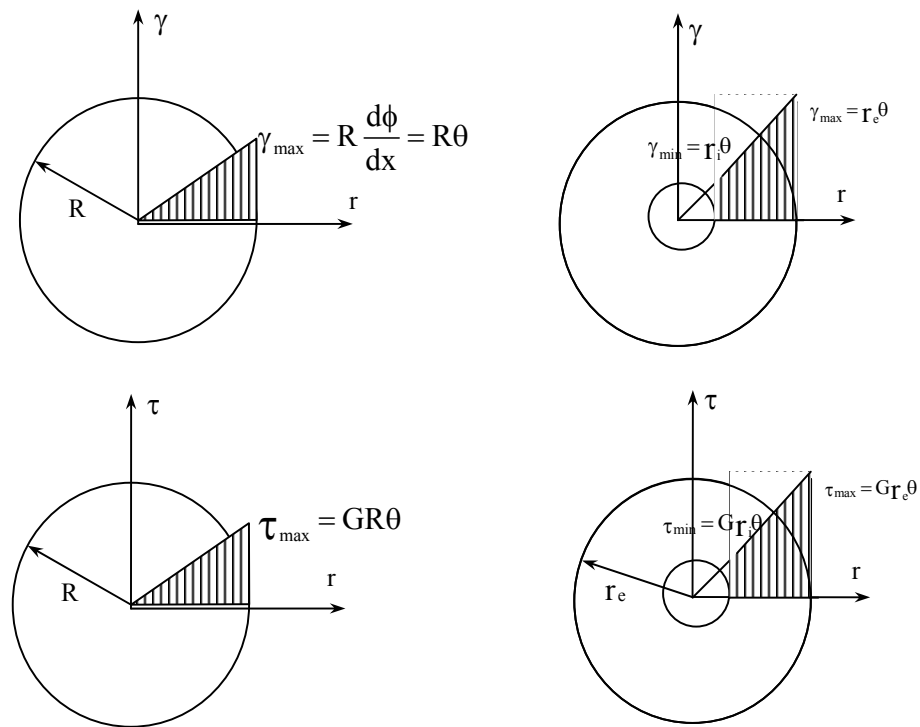


**Figura 19.2: Deformação de Torção**

A distribuição de deformações na secção é tal que o valor máximo ocorre para  $r$  igual ao valor máximo de  $r$ , designado por  $R$  e é zero para  $r = 0$  como se representa na figura 19.3. As tensões são obtidas por aplicação da Lei de Hooke Generalizada admitindo que o comportamento do material é linear elástico. O tensor das tensões toma a forma

$$\begin{bmatrix} \sigma_{xx} & \tau_{x\theta} & \tau_{xr} \\ \tau_{\theta x} & \sigma_{\theta\theta} & \tau_{\theta r} \\ \tau_{rx} & \tau_{r\theta} & \sigma_{rr} \end{bmatrix} = \begin{bmatrix} 0 & Gr\theta & 0 \\ Gr\theta & 0 & 0 \\ 0 & 0 & 0 \end{bmatrix} \quad (19.6)$$

No caso de se tratar de um veio oco a distribuição de deformações também se representa na figura 19.3.



**Figura 19.3: Distribuição de Deformações e Tensões ao longo do raio**

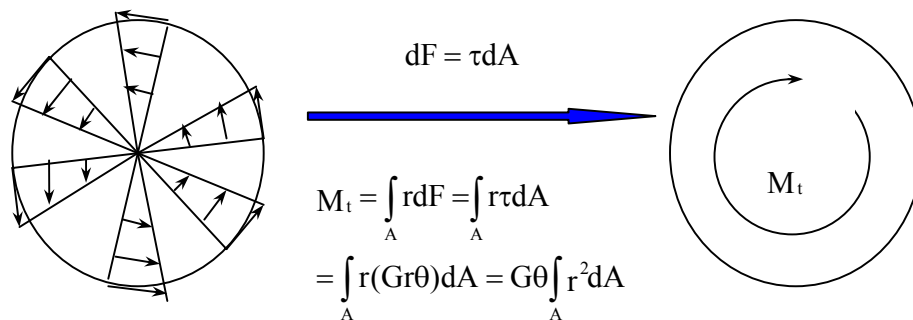
As tensões distribuídas na secção correspondem a uma força num elemento de área  $dA$  que é

$$dF = \tau dA \quad (19.7)$$

O momento resultante da distribuição de tensões na secção é

$$\begin{aligned} M_t &= \int_A r dF = \int_A r \tau dA \\ &= \int_A r (Gr\theta) dA = G\theta \int_A r^2 dA \end{aligned} \quad (19.8)$$

como se representa na figura 19.4.



**Figura 19.4: Momento Resultante das Tensões Distribuídas na Secção**

Tendo em conta que o integral da expressão 19.8 representa o momento de inércia polar da secção, ou seja

$$I_p = J = \int_A r^2 dA = \frac{\pi r^4}{2} \quad (19.9)$$

consequentemente o momento torsor é

$$M_t = GI_p \theta \quad \text{ou} \quad \theta = \frac{M_t}{GI_p} \quad (19.10)$$

Tendo em conta o tensor das tensões segundo o qual,  $\tau = Gr\theta$  e substituindo  $\theta$  da equação (19.10), obtém-se

$$\tau = \frac{M_t r}{I_p} \quad (19.11)$$

Tendo em conta que  $\theta = d\phi/dx$ , a equação 19.10 pode ser escrita com a forma

$$\frac{d\phi}{dx} = \frac{M_t}{GI_p} \quad \text{ou} \quad \phi(x) = \phi(0) + \int_0^x \frac{M_t(x)dx}{G(x)I_p(x)}$$

## 2. Torção de Um Veio de Secção Oca

No caso do veio ter a secção oca, a distribuição de tensões é linear como se representou na figura 19.3, sendo o momento obtido pela fórmula

$$\begin{aligned} M_t &= \int_A r dF = \int_A r t dA \\ &= \int_A r(Gr\theta) dA = G\theta \int_A r^2 dA \end{aligned}$$

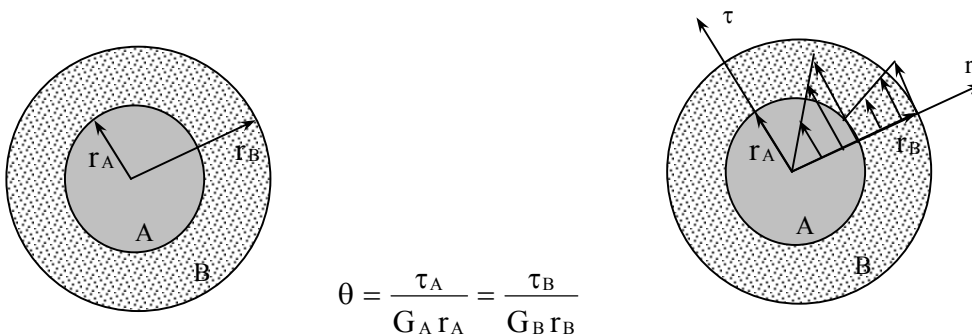
sendo  $dA = r d\varphi dr$ . Substituindo este valor na fórmula anterior obtém-se

$$M_t = G \frac{d\phi}{dx} \int_0^{2\pi} d\varphi \int_{r_i}^{r_e} r^3 dr = G\theta \frac{\pi}{2} (r_e^4 - r_i^4) \quad (19.12)$$

sendo  $\frac{\pi}{2}(r_e^4 - r_i^4)$  o momento de inércia polar.

## 3. Torção de Um Veio de Secção Composta

No caso de se considerar um veio constituído por dois materiais, o material **A** e o material **B**, como se representa na figura 19.5 com módulos de elasticidade transversal  $G_A$  e  $G_B$  respectivamente, as tensões são  $\tau_A = G_A \Gamma_A \theta$  e  $\tau_B = G_B \Gamma_B \theta$ , sendo a 1ª a tensão no material A e a 2ª a tensão no material B.



+

**Figura 19.5: Secção Composta**

O momento torsor é composto pelo momento torsor no material A e pelo momento torsor no material B, ou seja

$$M_t = M_{tA} + M_{tB} = G_A J_A \theta + G_B J_B \theta \quad (19.13)$$

sendo  $J_A$  e  $J_B$  os momentos de inércia polares das regiões A e B.

Os momentos de inércia polares são obtidos a partir das dimensões e são

$$J_A = \frac{\pi r_A^4}{2} \text{ e } J_B = \frac{\pi(r_B^4 - r_A^4)}{2} \quad (19.14)$$

O ângulo de torção por unidade de comprimento, de acordo com 19.13, é

$$\theta = \frac{M_t}{G_A J_A + G_B J_B}$$

Consequentemente as tensões nos materiais A e B são

$$\tau_A = \frac{M_t G_A r_A}{G_A J_A + G_B J_B} \text{ e } \tau_B = \frac{M_t G_B r_B}{G_A J_A + G_B J_B} \quad (19.15)$$

As parcelas do momento torsor suportadas por cada um dos materiais são

$$M_{tA} = M_t \frac{G_A J_A}{G_A J_A + G_B J_B} \text{ e } M_{tB} = M_t \frac{G_B J_B}{G_A J_A + G_B J_B} \quad (19.16)$$

### ***Exemplo 19.1***

*Considere um veio de Secção Circular com 5cm de diâmetro e admita que o pretende substituir por um veio de secção circular oca. No caso do diâmetro exterior da secção oca ser de 7.5 cm, qual deve ser o diâmetro interior de modo que a tensão máxima no tubo não se alterar. Determine o peso dos dois tubos e compare-os e diga o que conclui dessa comparação. Considere o mesmo material para os dois tubos.*

### ***Resolução***

*A tensão tangencial num veio de secção circular relaciona-se com o momento torsor através da fórmula*

$$\tau = \frac{M_t r}{I_p}$$

*No caso do veio de secção circular,  $r = 2.5\text{cm}$ , o momento de inércia polar é*

$$I_p = J = \int_A r^2 dA = \frac{\pi r^4}{2} = 61.3592 \text{ cm}^4$$

e conseqüentemente a tensão é

$$\tau = \frac{M_t r}{I_p} = \frac{M_t \times 2.5}{61.3592} = 0.0407 M_t$$

No caso do veio de secção oca é

$$I_p = \frac{\pi}{2} (r_e^4 - r_i^4) = \frac{\pi}{2} (3.25^4 - r_i^4)$$

e a tensão é

$$\tau = \frac{M_t r}{I_p} = \frac{M_t \times 7.5}{\pi \times (3.25^4 - r_i^4)} = \frac{2.3873 \times M_t}{(111.5664 - r_i^4)}$$

Comparando as tensões nos dois veios obtém-se

$$\frac{2.3873}{(111.5664 - r_i^4)} = 0.0407 \quad \text{ou} \quad r_i^4 = 52.9104 \Rightarrow r_i = 2.697 \text{ cm}$$

O peso é proporcional às áreas das secções, e as áreas são:

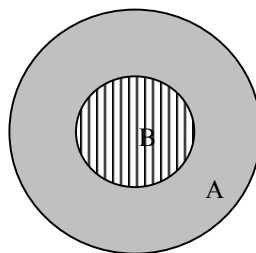
$$A_{\text{sólido}} = 19.635 \text{ cm}^2 \quad \text{e} \quad A_{\text{oco}} = 10.3317 \text{ cm}^2$$

O cociente das áreas é  $A_{\text{oco}} / A_{\text{sólido}} = 0.5262$ .

Conseqüentemente o peso do veio oco é cerca de metade do peso do veio sólido.

### ***Exemplo 19.2***

*Considere um veio de secção circular composta, como se representa na figura 19.6, cujo diâmetro exterior é **140mm** e cujo diâmetro interior é desconhecido. A tensão máxima instalada é de **150MPa**. O material **A** tem um módulo de rigidez transversal  **$G_A = 110\text{GPa}$**  e o material **B** tem um módulo de rigidez transversal  **$G_B = 80\text{GPa}$** . O momento torsor  $M_T$  a que a peça está sujeita é **78.5KN.m**. Determine o raio interior do veio.*

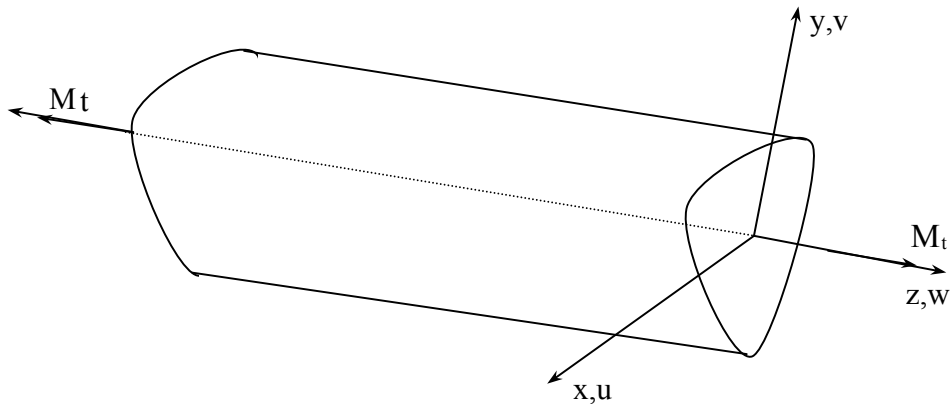


*Figura 19.6: Veio Composto*

### **Resolução**

## **4. Teoria de Saint Venant**

Considere o veio representado na figura 19.6 sendo a secção de forma arbitrária e associado ao veio considere o sistema de eixos  $Oxyz$  sendo o eixo dos  $zz$  coincidente com o eixo do veio, o veio está sujeito a um momento torsor  $M_t$ .



**Figura 19.6: Veio sujeito a Torção**

O deslocamento segundo o eixo é designado por  $w$  e é uma função das coordenadas  $x, y$ , ou seja

$$w = w(x, y)$$

As secções rodam sem distorção em torno do centro de gravidade sendo o ângulo  $\phi$ , definido em função de  $\theta$  do seguinte modo

$$\phi = \theta z$$

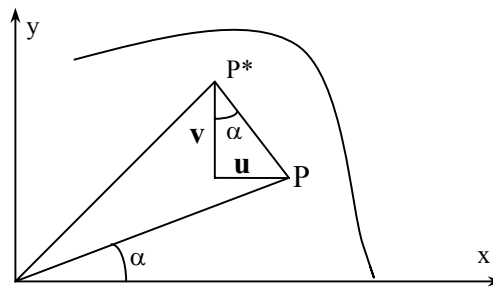
Na figura 19.7 estão representados os deslocamentos sofridos pelo ponto P da secção no plano  $Ox, y$ , sendo as coordenadas do ponto no sistema de eixos  $Oxyz$  designadas por  $x, y, z$ , as quais se podem relacionar com as coordenadas polares do ponto através das relações seguintes

$$x = r \cos \alpha$$

$$y = r \sin \alpha$$

O deslocamento  $PP^*$  é  $r\theta = r\theta z$  cujas componentes segundo  $x$  e  $y$  são  $u, v$ . O vector deslocamento referido aos eixos dos  $xx$  e dos  $yy$  é de acordo com a figura

$$\begin{Bmatrix} u \\ v \\ w \end{Bmatrix} = \begin{Bmatrix} -r\theta z \sin \alpha \\ r\theta z \cos \alpha \\ w(x, y) \end{Bmatrix} = \begin{Bmatrix} -\theta zy \\ \theta zx \\ w(x, y) \end{Bmatrix} \quad (19.17)$$



**Figura 19.7: Deslocamentos segundo x e y**

As deformações são obtidas a partir dos deslocamentos, tendo em conta as relações deformações deslocamentos, sendo o tensor das deformações

$$\boldsymbol{\varepsilon} = \begin{bmatrix} \frac{\partial u}{\partial x} & \frac{1}{2} \left( \frac{\partial u}{\partial y} + \frac{\partial v}{\partial x} \right) & \frac{1}{2} \left( \frac{\partial u}{\partial z} + \frac{\partial w}{\partial x} \right) \\ \frac{1}{2} \left( \frac{\partial u}{\partial y} + \frac{\partial v}{\partial x} \right) & \frac{\partial v}{\partial y} & \frac{1}{2} \left( \frac{\partial v}{\partial z} + \frac{\partial w}{\partial y} \right) \\ \frac{1}{2} \left( \frac{\partial u}{\partial z} + \frac{\partial w}{\partial x} \right) & \frac{1}{2} \left( \frac{\partial v}{\partial z} + \frac{\partial w}{\partial y} \right) & \frac{\partial w}{\partial z} \end{bmatrix} = \begin{bmatrix} 0 & 0 & \frac{1}{2} \left( \frac{\partial w}{\partial x} - y\theta \right) \\ 0 & 0 & \frac{1}{2} \left( \frac{\partial w}{\partial y} + x\theta \right) \\ \frac{1}{2} \left( \frac{\partial w}{\partial x} - y\theta \right) & \frac{1}{2} \left( \frac{\partial w}{\partial y} + x\theta \right) & 0 \end{bmatrix} \quad (19.18)$$

As tensões são obtidas por aplicação da lei de Hooke, sendo o tensor das tensões

$$\sigma = \begin{bmatrix} 0 & 0 & G\left(\frac{\partial w}{\partial x} - y\theta\right) \\ 0 & 0 & G\left(\frac{\partial w}{\partial y} + x\theta\right) \\ G\left(\frac{\partial w}{\partial x} - y\theta\right) & G\left(\frac{\partial w}{\partial y} + x\theta\right) & 0 \end{bmatrix} \quad (19.19)$$

As equações de equilíbrio tomam neste caso a forma seguinte

$$\frac{\partial \tau_{zx}}{\partial z} = 0 \quad \frac{\partial \tau_{zy}}{\partial z} = 0 \quad \text{e} \quad \frac{\partial \tau_{zx}}{\partial x} + \frac{\partial \tau_{zy}}{\partial y} = 0 \quad (19.20)$$

Tendo em conta que as tensões são

$$\tau_{xz} = G\left(\frac{\partial w}{\partial x} - y\theta\right) \quad \text{e} \quad \tau_{yz} = G\left(\frac{\partial w}{\partial y} + x\theta\right) \quad (19.21)$$

As derivadas dos deslocamentos  $w$  são tais que

$$G \frac{\partial w}{\partial x} = \tau_{xz} - Gy\theta \quad \text{e} \quad G \frac{\partial w}{\partial y} = \tau_{yz} + Gx\theta \quad (19.22)$$

Para assegurar a compatibilidade dos deslocamentos, pode derivar-se em ordem a  $y$  a 1ª equação e em ordem a  $x$  a 2ª equação, os resultados obtidos têm de ser iguais, donde se infere a equação de compatibilidade seguinte

$$\frac{\partial \tau_{zx}}{\partial y} - \frac{\partial \tau_{zy}}{\partial x} = -2G\theta \quad (19.23)$$

A solução do problema passa pela solução do sistema de equações

$$\begin{aligned} \frac{\partial \tau_{zx}}{\partial x} + \frac{\partial \tau_{zy}}{\partial y} &= 0 \\ \frac{\partial \tau_{zx}}{\partial y} - \frac{\partial \tau_{zy}}{\partial x} &= -2G\theta \end{aligned} \quad (19.24)$$

considerando as condições de fronteira seguintes

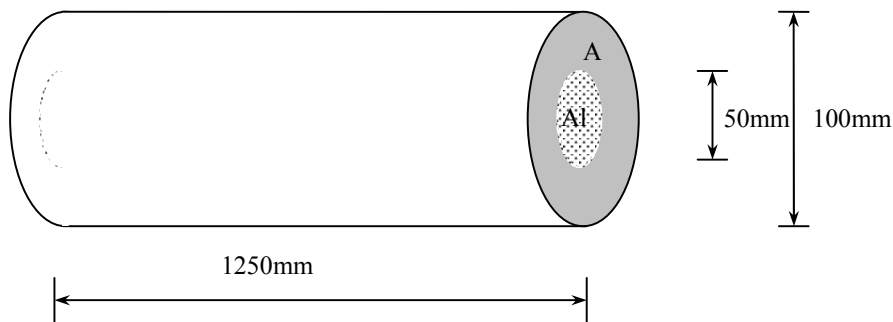
$$\tau_{zx}v_x + \tau_{zy}v_y = 0 \quad \text{na superfície lateral do sólido e} \quad \iint_A (x\tau_{yz} - y\tau_{xz})dxdy \quad \text{para } z=0 \text{ e } z=L.$$

A resolução do sistema de equações é possível para alguns problemas simples recorrendo à função de tensão.

## 5. Problemas Propostos para Solução na Aula

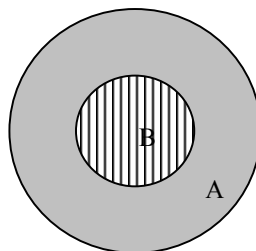
1. Um **veio** de secção circular sólida de diâmetro  $d$  e um veio de secção circular oca de diâmetro interior  $d/2$  têm o mesmo comprimento e estão sujeitos a momentos torsores iguais de valor  $M_t$ . Determine a **tensão de corte máxima** em cada veio e o ângulo de torção entre os extremos de cada veio. O comprimento do veio é  $L$  e o raio exterior do veio oco é  $d$ .

2. Considere um veio composto de alumínio e aço com as dimensões representadas na figura e sujeito a um momento torsor de 2kN.m. Determine as tensões de corte máximas instaladas e determine o ângulo de corte. O módulo de rigidez transversal do Alumínio é 27 GPa e o módulo de rigidez transversal do Aço é 80GPa.



**Figura 19.8: Veio Composto**

3. Considere um veio de secção circular composta, como se representa na figura 19.9, cujo diâmetro exterior é **140mm** e cujo diâmetro interior é desconhecido. A tensão máxima instalada é de **150MPa**. O material **A** tem um módulo de rigidez transversal  $G_A=110GPa$  e o material **B** tem um módulo de rigidez transversal  $G_B=80GPa$ . O momento torsor  $M_T$  a que a peça está sujeita é **78.5KN.m**. Determine o raio interior do veio.



*Figura 19.9: Veio Composto*

## 6- Leituras a Efectuar nas Horas de Estudo

- V. Dias da Silva, *Mecânica e Resistência dos Materiais*, Ediliber Editora, 1995,
- Carlos Moura Branco, *Mecânica dos Materiais, Teoria e Aplicação*, McGraw-Hill, 1989.
- J. F. Silva Gomes, *Apontamentos de Mecânica dos Sólidos*, Editorial de Engenharia.

# Resistência dos Materiais 2003/2004

## Curso de Gestão e Engenharia Industrial

### 20ª Aula

**Duração - 2 Horas**

**Data - 4 de Dezembro de 2003**

**Sumário:** Função de Prandtl. Torção de Veios de Secção Elíptica e Rectangular e de Secções Abertas de paredes delgadas.

**Objectivos da Aula:** Apreensão dos conceitos Fundamentais associados à torção de veios de forma arbitrária

### Resumo do Conteúdo da Aula

#### 1. Função de Tensão de Prandtl

A solução do problema de torção de um veio de secção arbitrária, na ausência de forças de massa, passa pela solução do sistema de equações

$$\begin{aligned}\frac{\partial \tau_{zx}}{\partial x} + \frac{\partial \tau_{zy}}{\partial y} &= 0 \\ \frac{\partial \tau_{zx}}{\partial y} - \frac{\partial \tau_{zy}}{\partial x} &= -2G\theta\end{aligned}\tag{20.1}$$

considerando as condições de fronteira seguintes

$\tau_{zx}v_x + \tau_{zy}v_y = 0$  na superfície lateral do sólido e  $M_t = \iint_A (x\tau_{yz} - y\tau_{xz})dx dy$  para  $z=0$  e  $z=L$ .

Para resolver este problema um dos métodos disponíveis recorre à chamada **função de tensão de Prandtl** que é uma função tal que

$$\tau_{zx} = \frac{\partial\phi}{\partial y} \text{ e } \tau_{zy} = -\frac{\partial\phi}{\partial x} \quad (20.2)$$

verificando automaticamente as equações de equilíbrio.

Substituindo as expressões 20.2 na equação de compatibilidade obtém-se

$$\frac{\partial^2\phi}{\partial x^2} + \frac{\partial^2\phi}{\partial y^2} = -2G\theta \quad (20.3)$$

Esta equação é muitas vezes referida como **Equação de Poisson**.

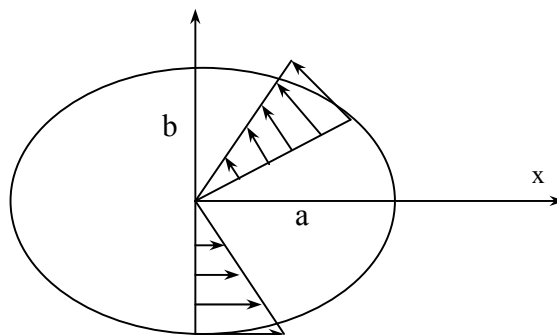
A solução do problema passa agora pela solução da equação de compatibilidade 20.3 sujeita às condições de fronteira

$$\tau_{zx}v_x + \tau_{zy}v_y = 0 \text{ ou } \frac{\partial\phi}{\partial y}v_x - \frac{\partial\phi}{\partial x}v_y = 0 \quad (20.4)$$

A determinação da função  $\phi$  adequada depende da geometria da secção.

## 2. Veio de Secção Elíptica

Considere-se um veio de secção elíptica como se representa na figura 20.1



### Figura 20.1: Veio de Secção Elíptica

A função  $\phi$  a considerar é

$$\phi = k \left( \frac{x^2}{a^2} + \frac{y^2}{b^2} - 1 \right) \text{ sendo } k \text{ uma constante.} \quad (20.5)$$

Substituindo a função  $f$  na equação de compatibilidade, obtém-se

$$\frac{2k}{a^2} + \frac{2k}{b^2} = -2G\theta = H,$$

resolvendo em ordem a  $k$  obtém-se

$$k = \frac{a^2 b^2}{2(b^2 + a^2)} H \quad (20.6)$$

A função de Prandtl para o veio de secção elíptica toma a forma

$$\phi = \frac{a^2 b^2}{2(a^2 + b^2)} H \left( \frac{x^2}{a^2} + \frac{y^2}{b^2} - 1 \right) \quad (20.7)$$

A 1ª condição de fronteira refere-se ao contorno do veio e é

$$\tau_{zx} v_x + \tau_{zy} v_y = 0 \quad \text{ou} \quad \frac{\partial \phi}{\partial y} \frac{\partial y}{\partial s} + \frac{\partial \phi}{\partial x} \frac{\partial x}{\partial s} = \frac{\partial \phi}{\partial s} = 0 \quad \text{ou seja } \phi \text{ é constante no contorno exterior do veio.}$$

A outra condição de fronteira diz respeito aos extremos do veio e é

$$M_t = \iint_A (x \tau_{yz} - y \tau_{xz}) dx dy = - \iint_A \left( x \frac{\partial \phi}{\partial x} + y \frac{\partial \phi}{\partial y} \right) dx dy \quad (20.8)$$

por aplicação do teorema de Gauss obtém-se

$$\begin{aligned} M_t &= - \iint_A \left( \frac{\partial(\phi x)}{\partial x} + y \frac{\partial(\phi y)}{\partial y} - 2\phi \right) dx dy = \\ &= - \int_C (x \phi \cos(\nu, x) + y \phi \cos(\nu, y)) ds + \iint_A 2\phi dx dy \end{aligned} \quad (20.9)$$

O integral estendido ao contorno é nulo pela 1ª condição de Fronteira e o Momento torsor é

$$M_t = \iint_A 2\phi dx dy \quad (20.10)$$

ou seja no caso do veio elíptico

$$M_t = \frac{\pi a^3 b^3}{(a^2 + b^2)} G\theta \quad (20.11)$$

No caso do veio elíptico a função de Prandtl pode ser escrita em termos do Momento torsor, com a seguinte forma

$$\phi = -\frac{M_t}{\pi ab} \left( \frac{x^2}{a^2} + \frac{y^2}{b^2} - 1 \right) \quad (20.12)$$

As tensões são

$$\begin{aligned} \tau_{xz} &= \frac{\partial \phi}{\partial y} = -\frac{2M_t y}{\pi ab^3} = -\frac{M_t y}{2I_x} \\ \tau_{yz} &= -\frac{\partial \phi}{\partial x} = \frac{2M_t x}{\pi ba^3} = \frac{M_t x}{2I_y} \end{aligned} \quad (20.13)$$

A tensão de corte resultante é

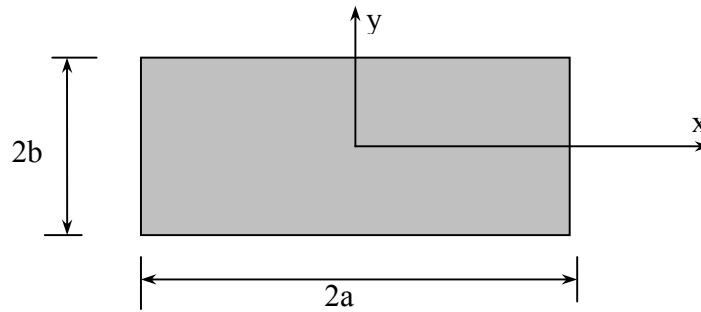
$$\tau_{zz} = \left( \tau_{zx}^2 + \tau_{zy}^2 \right)^{1/2} = \frac{2M_t}{\pi ab} \left( \frac{x^2}{a^4} + \frac{y^2}{b^4} \right)^{1/2} \quad (20.14)$$

No caso particular de ser  $a=b$  obtém-se os resultados correspondentes ao veio de secção circular.

### 3. Veio de Secção Rectangular

No caso do veio ter secção rectangular, como se representa na figura 20.2 ainda é possível obter solução para a equação de Poisson

$$\frac{\partial^2 \phi}{\partial x^2} + \frac{\partial^2 \phi}{\partial y^2} = -2G\theta \quad \text{sujeita à condição de contorno } \phi = 0 \quad (20.15)$$



**Figura 20.2: Secção Rectangular**

A solução da equação de Poisson pode considerada com a forma

$$\phi = G\theta(x^2 - a^2) + V(x, y) \quad (20.16)$$

onde  $V(x,y)$  é uma função par de  $(x,y)$ . Substituindo esta função  $\phi$  nas equações 20.15 obtém-se

$$\begin{aligned} \nabla^2 V &= 0 && \text{na área da Secção} \\ V &= 0 && \text{para } x = \pm a \\ V &= G\theta(a^2 - x^2) && \text{para } y = \pm b \end{aligned} \quad (20.17)$$

A solução destas equações pode ser procurada considerando o método da separação de variáveis, ou seja

$$V(x,y) = f(x)g(y) \quad (20.18)$$

Onde  $f(x)$  é uma função de  $x$  e  $g(y)$  é uma função de  $y$ . Considerando esta forma para a função  $V(x,y)$  a 1ª equação 20.17 toma a forma

$$\nabla^2 V = g \frac{\partial^2 f}{\partial x^2} + f \frac{\partial^2 g}{\partial y^2} = gf'' + fg'' = 0 \quad (20.19)$$

sendo  $f''$  e  $g''$  as segundas derivadas de  $f$  e  $g$  em ordem a  $x$  e  $y$  respectivamente. Para que a equação 20.19 seja verificada é necessário que seja

$$\frac{f''}{f} = -\frac{g''}{g} = -\lambda^2 \quad (20.20)$$

onde  $\lambda^2$  representa uma constante positiva. As equações 20.20 podem ser escritas com a forma

$$f'' + \lambda^2 f = 0 \quad \text{e} \quad g'' - \lambda^2 g = 0 \quad (20.21)$$

cujas soluções são

$$\begin{aligned} f &= A \cos \lambda x + B \sin \lambda x \\ g &= A \cosh \lambda y + D \sinh \lambda y \end{aligned} \quad (20.22)$$

Tendo em conta que  $V(x,y)$  tem de ser uma função par em  $x$  e  $y$ , as constantes  $B$  e  $D$  devem ser nulas,  $B=D=0$ , a função  $V$  toma então a forma

$$V = A \cos \lambda x \cosh \lambda y \quad (20.23)$$

Onde  $A$  representa uma constante arbitrária.

Para que a 2ª condição de 20.17,  $V=0$  para  $x=\pm a$ , se verifique é necessário que seja

$$\lambda = \frac{n\pi}{2a} \quad (20.24)$$

Para verificar a 3ª condição de 20.17, considera-se

$$V = \sum_{n=1,3,5,\dots}^{\infty} A_n \cos \frac{n\pi x}{2a} \cosh \frac{n\pi y}{2a} \quad (20.25)$$

Considerando este desenvolvimento em série a equação harmónica,  $\nabla^2 V = 0$ , é verificada, assim como a 2ª condição de 20.17, a verificação da 3ª condição implica que seja

$$\sum_{n=1,3,5,\dots}^{\infty} C_n \cos \frac{n\pi x}{2a} = G\theta(x^2 - a^2) = f(x) \quad (20.26)$$

onde

$$C_n = A_n \cosh \frac{n\pi b}{2a} \quad (20.27)$$

Para obter o coeficiente  $C_n$ , de acordo com a Teoria das Séries de Fourier, multiplica-se ambos os membros da equação 20.26 por  $\cos(n\pi x/2a)$  e integra-se entre  $-a$  e  $+a$ , obtendo-se

$$C_n = \frac{1}{a} \int_{-a}^{+a} f(x) \cos \frac{n\pi x}{2a} dx \quad (20.28)$$

Tendo em conta que  $f(x)\cos(n\pi x/2a) = G\theta(a^2 - x^2)\cos(n\pi x/2a)$  é simétrica em relação a  $x=0$ , pode escrever-se

$$C_n = \frac{2G\theta}{a} \int_0^a (x^2 - a^2) \cos \frac{n\pi x}{2a} dx \quad (20.29)$$

ou

$$C_n = \frac{2G\theta}{a} \int_0^a x^2 \cos \frac{n\pi x}{2a} dx - 2G\theta a \int_0^a \cos \frac{n\pi x}{2a} dx \quad (20.30)$$

Este integral pode ser facilmente por uso de tabelas de integrais, obtendo-se

$$C_n = \frac{-32G\theta(-1)^{(n-1)/2}}{n^3 \pi^3} \quad (20.31)$$

Tendo em conta as relações 20.27 e 20.31, obtém-se a constante

$$A_n = \frac{-32G\theta(-1)^{(n-1)/2}}{n^3 \pi^3 \cosh \frac{n\pi b}{2a}} \quad (20.32)$$

consequentemente a função de Prandtl  $\phi$  toma a forma

$$\phi = G\theta(a^2 - x^2) - \frac{32G\theta a^2}{\pi^3} \sum_{n=1,3,5,\dots}^{\infty} \frac{(-1)^{(n-1)/2} \cos \frac{n\pi x}{2a} \cosh \frac{n\pi y}{2a}}{n^3 \cosh \frac{n\pi b}{2a}} \quad (20.33)$$

A função  $\phi$ , para  $b/a \rightarrow \infty$ , toma o valor aproximado de

$$\phi \cong G\theta(a^2 - x^2) \quad (20.34)$$

Tendo em conta que  $\cosh(y) = 1 + y^2/2! + y^4/4! + \dots$

As tensões obtém-se considerando as equações 20.2 e 20.33 e são

$$\tau_{xz} = \frac{\partial \phi}{\partial y} = -\frac{16G\theta a}{\pi^2} \sum_{n=1,3,5,\dots}^{\infty} \frac{(-1)^{(n-1)/2} \cos \frac{n\pi x}{2a} \operatorname{senh} \frac{n\pi y}{2a}}{n^2 \cosh \frac{n\pi b}{2a}}$$

$$\tau_{yz} = -\frac{\partial\phi}{\partial x} = 2G\theta x - \frac{16G\theta a}{\pi^2} \sum_{n=1,3,5,\dots}^{\infty} \frac{(-1)^{(n-1)/2} \operatorname{sen} \frac{n\pi x}{2a} \operatorname{cosh} \frac{n\pi y}{2a}}{n^2 \operatorname{cosh} \frac{n\pi b}{2a}} \quad (20.35)$$

O momento é de acordo com 20.10

$$M_t = \iint_A 2\phi dx dy = GJ\theta \quad (20.36)$$

$$\text{sendo } J = \frac{(2a)^3(2b)}{3} \left\{ 1 - \frac{192}{\pi^5} \left[ \frac{a}{b} \right] \sum_{n=1,3,5,\dots}^{\infty} \frac{1}{n^5} \operatorname{tanh} \frac{n\pi b}{2a} \right\}.$$

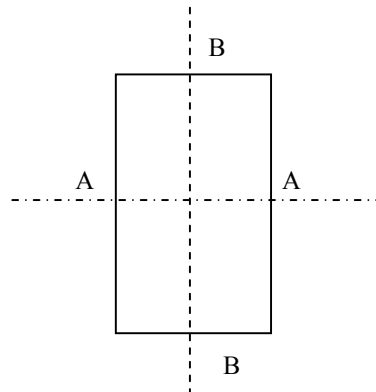
No caso particular de ser  $b/a \rightarrow \infty$  o termo dentro de parêntesis na expressão de J toma o valor unitário e J tende para o valor fora de parêntesis.

#### 4. Tensões Máximas numa Secção Rectangular. Fórmulas Aproximadas.

Considerando uma secção rectangular de dimensões  $b \times a$  sendo  $\underline{b}$  o lado maior e  $\underline{a}$  o lado menor como se representa na figura 20.3. A tensão máxima ocorre nos pontos A, A e é dada pela fórmula

$$\tau_{\max} = \frac{1}{\alpha} \frac{M_t}{b a^2} \quad (20.37)$$

sendo  $\alpha$  um coeficiente dependente do cociente  $b/a$ , cujos valores são dados pelos valores indicados na tabela 20.1.



**Figura 20.3: Secção Rectangular**

O ângulo de torção por unidade de comprimento  $\theta$  é dado pela equação

$$\theta = \frac{M_t}{c_1 b a^3 G} \text{ ou seja } C = G I_p = c_1 b a^3 G \quad (20.38)$$

sendo o valor numérico de  $c_1$  indicado na tabela 20.1

$N=b/a$	1.00	1.50	2.00	3.00	4.00	$\infty$
$\alpha = c_1/c_2$	0.208	0.231	0.246	0.267	0.282	0.333
$c_1$	0.141	0.196	0.229	0.263	0.281	0.333
$c_2$	0.675	0.852	0.928	0.977	0.990	1.000
$\beta$	0.208	0.270	0.309	0.354	0.379	0.448
$\mu = c_1/c_2^2$	0.310	0.270	0.266	0.276	0.288	0.334

**Tabela 20.1**

Para  $n > 4$ ,  $c_1$  e  $c_2 = c_1/\alpha$  são dados pelas fórmulas aproximadas:

$$c_1 = \frac{1}{3} \left( 1 - \frac{0.630}{n} \right) \rightarrow \frac{1}{3}; \quad c_2 = 1 - \frac{0.650}{1+n^3} \rightarrow 1 \quad (20.39)$$

A tensão  $\tau$  nos pontos B, B no meio dos lados de menor dimensão é dada pela fórmula

$$\tau = \frac{1}{\beta} \frac{M_t}{b a^2} \quad (20.40)$$

os valores de  $\beta$  estão indicados na tabela 20.1.

No caso particular da secção quadrada as tensões e o ângulo de torção por unidade de comprimento são dadas pelas fórmulas

$$\tau_{\max} = \frac{1}{0.208} \frac{M_t}{b^3}; \quad \theta = \frac{1}{0.141} \frac{M_t}{b^4 G}; \quad C = G I_p = 0.141 b^4 G \quad (20.41)$$

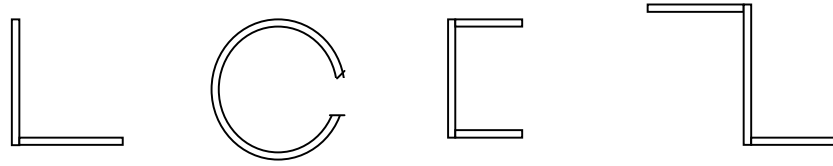
No caso de ser  $b \gg a$ , retângulo muito delgado,  $b/a \rightarrow \infty$  e  $\alpha \rightarrow 1/3$  e as equações de  $t$  e  $q$  tomam a forma

$$\tau_{\max} = \frac{3M_t}{b a^2} = G \theta a; \quad \theta = \frac{3M_t}{b a^3 G}; \quad C = G I_p = \frac{1}{3} b a^3 G \quad (20.42)$$

## 5. Secções Abertas de parede delgada

Para as secções de paredes delgadas representadas na figura 20.4, a teoria da elasticidade e a experiência mostram que se podem utilizar as fórmulas 20.42, considerando  $a$  igual à espessura média e  $b$  igual ao comprimento total.

□

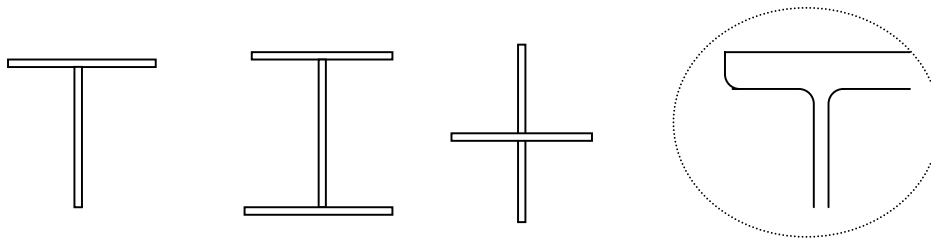


**Figura 20.4: Secções Abertas de Paredes Delgadas**

No caso das secções representadas na figura 20.5 que também são secções abertas de paredes delgadas, pode admitir-se sem grande erro que os diferentes rectângulos de dimensões  $a_i \times b_i$  que compõem a secção resistem à torção independentemente uns dos outros. Podendo escrever-se

$$C = GI_p = k \frac{G}{3} \sum_{i=1}^n b_i a_i^3$$

sendo  $n$  o número de rectângulos do perfil. O coeficiente  $k$  é em geral ligeiramente superior a 1 para ter em conta o facto de os ângulos estarem amaciados como se representa na figura 20.5



**Figura 20.5: Secções Abertas**

Estes resultados são confirmados pelos ensaios de Föppl assim como pelos trabalhos teóricos baseados na teoria da elasticidade. Föppl aconselha a usar-se  $k=1$  para as cantoneiras,  $k=1.1$  para os perfis em U e T e  $K=1.25$  para os perfis em duplo T. A tensão tangencial máxima para a secção é sempre dada pela fórmula

$$\tau = G\theta a_i \text{ sendo } \theta = M_t / C$$

Estes resultados não são válidos quando a torção é não uniforme.

## 6. Analogia de Membrana de Prandtl

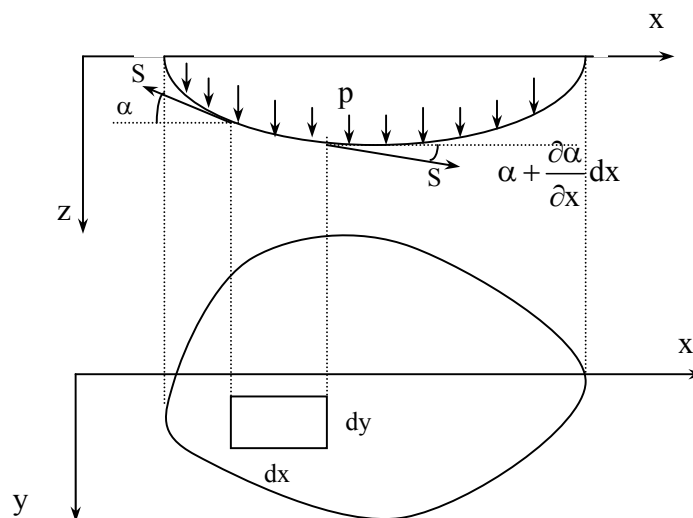
O método da analogia de Membrana de Prandtl foi originariamente proposto em 1903 e e tira partido da semelhança existente entre a equação de Poisson

$$\frac{\partial^2 \phi}{\partial x^2} + \frac{\partial^2 \phi}{\partial y^2} = -2G\theta \quad (20.36)$$

e a equação de equilíbrio de forças, na direcção do eixo dos  $zz$ , da membrana sujeita a uma pressão lateral  $p$ , é

$$\frac{\partial^2 z}{\partial x^2} + \frac{\partial^2 z}{\partial y^2} = -\frac{p}{S} \quad (20.37)$$

onde  $z$  representa o deslocamento lateral da membrana em termos de uma pressão lateral de intensidade  $p$  (força por unidade de área) e uma força inicial por unidade de comprimento  $S$ , tracção inicial, como se representa na figura 20.6



**Figura 20.6 Membrana sujeita a pressão lateral**

Prandtl mostrou que as deformações de corte numa barra elástica rectilínea sujeita a um momento torsor estão relacionadas com as inclinações da membrana estendida num orifício de uma placa plana e sujeita a uma pressão  $p$ , considerando o orifício com a forma da secção recta da barra e a membrana ligada à fronteira do orifício.

Comparando as equações 20.36 e 20.37 pode afirmar-se que

$$z = C\phi \quad \text{e} \quad p/S = C \ 2G\theta \quad (20.38)$$

sendo  $C$  uma constante de proporcionalidade.

Nestas condições é

$$\frac{z}{p/S} = \frac{\phi}{2G\theta} \quad \text{e} \quad \phi = \frac{2G\theta S}{p} z \quad (20.39)$$

De acordo com isto a função de Prandtl é proporcional ao deslocamento de membrana  $z$  e como as tensões de corte são consideradas iguais às derivadas da função  $\phi$ , estas tensões são proporcionais às derivadas do deslocamento,  $z$ , da membrana em ordem a  $x$  e  $y$  na placa à qual a membrana está ligada. Sendo assim a imagem da distribuição de tensões é facilmente visualizada através da imagem da forma da inclinação da membrana correspondente. O momento torsor por sua vez é proporcional ao volume limitado pela membrana e pelo plano Oxy, tendo em conta a equação 20.10. Nestas condições é

$$\frac{p}{S} \propto 2G\theta; \quad \tau \propto \frac{dz}{dn}; \quad M_t \propto 2 \times \text{Vol} \quad 20.40$$

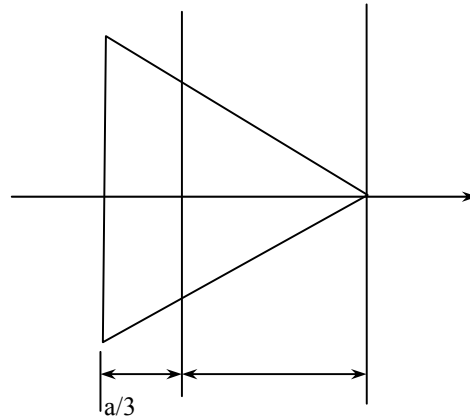
O método da analogia de membrana, não é hoje muito utilizado na prática e tem um valor meramente histórico, para mais detalhes sobre o método da analogia de membrana podem consultar os apontamentos de Mecânica dos Sólidos de J. F. Silva Gomes.

## 7- Problemas Propostos para Resolução nas Aulas

1. Calcule o cociente entre as tensões máxima e o cociente entre os ângulos de torção produzidos para um mesmo momento torsor numa barra de secção rectangular tendo  $b/a=3$  e numa barra de secção circular com área equivalente à secção rectângular. Considere as barras com o mesmo comprimento e construídas do mesmo material.~
2. Determine a tensão máxima instalada e o ângulo de torção por unidade de comprimento numa cantoneira  $100 \times 100 \times 10$ mm, submetida a um momento torsor de 1kN.m.
3. Mostre que a função de tensão

$$\phi = \frac{G\theta}{2a} \left[ x - \sqrt{3}y - \frac{2a}{3} \right] \left[ x + \sqrt{3}y - \frac{2a}{3} \right] \left[ x + \frac{a}{3} \right]$$

é adequada para efeitos de cálculo das tensões num triângulo equilátero com a forma representada na figura 20.7. Determine as tensões tangenciais.



**Figura 20.7: Triângulo Equilátero**

### **8- Leituras a Efectuar nas Horas de Estudo**

- V. Dias da Silva, *Mecânica e Resistência dos Materiais*, Ediliber Editora, 1995,
- Carlos Moura Branco, *Mecânica dos Materiais, Teoria e Aplicação*, McGraw-Hill, 1989.
- J. F. Silva Gomes, *Apontamentos de Mecânica dos Sólidos*, Editorial de Engenharia.